

OSAKA UNIVERSITY

エッジコンピューティング環境におけるサービス機能の配置がユーザの通信品質に与える効果の評価

大阪大学 大学院情報科学研究科
金田 純一

IN 研究会
2017/9/8

OSAKA UNIVERSITY

研究の背景

- 端末技術の発展**
 - 通信機能を持つエンド端末がセンサーやカメラを搭載
- 新たなアプリケーションの増加**
 - エンド端末のセンサーやカメラが取得した情報を遠隔地のデータセンターで処理
 - 結果をエンド端末へ転送しユーザへ提示
 - AR (Augment Reality) に代表されるリアルタイム性の高いサービスの増加

↓

- データセンターを利用するサービスの遅延が増大・顕著化**
 - 距離による遅延
 - 遠隔地に位置するデータセンターまでの通信遅延
 - 負荷の集中による処理遅延
 - 多数のエンド端末からデータセンターへ負荷が集中
 - 遅延の顕著化
 - リアルタイム性の高いサービスの増加

OSAKA UNIVERSITY

エッジコンピューティング (EC) への期待

3

- 応答性の向上**
 - サービス機能の一部を、データセンター (DC) からエンド端末に近い多数のエッジサーバ (ES) に配置
 - 通信距離の削減
 - 負荷分散
- 柔軟なサービス提供**
 - 仮想化環境上でサービス機能の実行を想定
 - サービス機能の処理拠点を柔軟に配置
 - 通信距離の削減や処理の分散をより柔軟に実行
 - 要求に応じた資源の増強が可能

OSAKA UNIVERSITY

EC 環境におけるユーザの通信品質

4

- 応答性に対する期待と懸念**
 - 通信距離削減による通信遅延の低減
 - 負荷分散による遅延の低減
 - 仮想マシンのソフトウェア動作に起因する遅延の増大
- 機能を配置する拠点の違いによる応答性への影響が未知**
 - 遅延の発生要因や発生量
 - 拠点の違いによる遅延の差異

今後の EC の導入や展開に向け
EC 環境で生じる遅延の
発生要因や発生量の理解が重要

OSAKA UNIVERSITY

研究の目的とアプローチ

5

EC 環境におけるサービス機能の配置がユーザの通信品質に与える効果の解明

アプローチ

実験室内で実機を用いて EC 環境を構築

EC 環境で生じるアプリケーション遅延を測定

手順

- OpenStack を用いた EC 環境の構築
- Pepper を用いた EC サービスの作成
- サービス機能の配置拠点を変更しアプリケーション遅延を測定

OSAKA UNIVERSITY

エッジコンピューティング (EC) 環境の構築手順

6

ネットワーク機能仮想化 (NFV) を応用して EC 環境を実現

- ネットワーク機能ではなく、サービスアプリケーションを仮想化し実行
- EC を想定しネットワークを構成

ネットワーク機能仮想化 (NFV) 環境の構築に OpenStack を利用

- OpenStack は NFV フレームワークにおける NFVI、VIM として機能

NFV: Network Functions Virtualization
NFVI: NFV Infrastructure
VIM: Virtualized Infrastructure Manager

OSAKA UNIVERSITY 7

OpenStack を利用した NFV 環境の構築

- OpenStack による仮想化環境を NFVI として利用**
 - NFVI: NFV を実現するインフラ部分
 - 実機ではコンピュートノードとして実現
- OpenStack の仮想化環境管理機能を VIM として利用**
 - VIM: NFV 全体の管理・調整を行う MANO の一部で、NFVI を管理
 - 実機ではコントローラノードとして実現

OpenStack

- IaaS 型のクラウド環境を構築するオープンソースソフトウェア群
- 様々な機能を有するモジュールを組み合わせてシステムを構築(モジュラーアーキテクチャ)
- 近年様々な NFV オープンソース実装が OpenStack を NFVI, VIM として採用

MANO: Management and Orchestration
VNF: Virtual Network Function
VNFM: VNF Manager

OSAKA UNIVERSITY 8

NFV を応用した EC 環境の構築

- サービスアプリケーションを仮想化**
 - 仮想マシン上で、ネットワーク機能ではなくサービスアプリケーションを実行
- EC を想定しネットワークを構成**
 - ユーザ PC, Pepper および 3 台の計算機をスイッチ (SW) で接続
 - 計算機 1, 計算機 2
 - エッジサーバ (ES) として動作
 - ユーザ側と Pepper 側、両拠点に用意
 - OpenStack コンピュートノードで実現
 - 仮想化されたサーバ
 - 計算機 3
 - データセンタ (DC) として動作
 - 非仮想化サーバ
 - 実世界における通信距離は再現していない

OpenStack を応用した EC 環境

計算機 3
DC

計算機 1
App VM ES SW

計算機 2
App VM ES SW

ユーザ PC

Pepper

無線

コントローラノードは図示していない

OSAKA UNIVERSITY 9

Pepper を用いた EC サービスの作成

- 買い物代行サービスを想定**
 - Pepper が実店舗に赴き、ユーザは自宅にいながら買い物が楽しめるサービス
 - センシング情報を活用
 - AR 技術を用いて映像に商品情報を表示
- 映像のライブストリーミングサービスのみを実装**
 - Pepper が取得した映像をライブストリーミング
 - エッジサーバで映像に文字列を挿入
 - 映像配信サーバアプリケーションで配信
 - 映像配信サーバアプリケーションは映像を UDP で受信し TCP で送信
 - ユーザ PC で受信

DC

映像加工・配信

App VM ES

VM ES

ユーザ PC 映像受信

Pepper 映像取得

OSAKA UNIVERSITY 10

サービス提供形態とサービス機能の配置

- EC シナリオ**
 - シナリオ Edge-User-Side**
 - ES の利用を想定
 - TCP 通信の通信距離が 2
 - シナリオ Edge-Pepper-Side**
 - ES の利用を想定
 - TCP 通信の通信距離が 4
- 非 EC シナリオ**
 - シナリオ Cloud**
 - クラウドを提供する DC の利用を想定
 - 非仮想化サーバを利用
 - TCP 通信の通信距離が 3
- 比較シナリオ**
 - シナリオ Direct**
 - Pepper から PC へ直接映像を配信
 - エンド端末の処理時間を計測

Edge-User-Side

Edge-Pepper-Side

Cloud

Direct

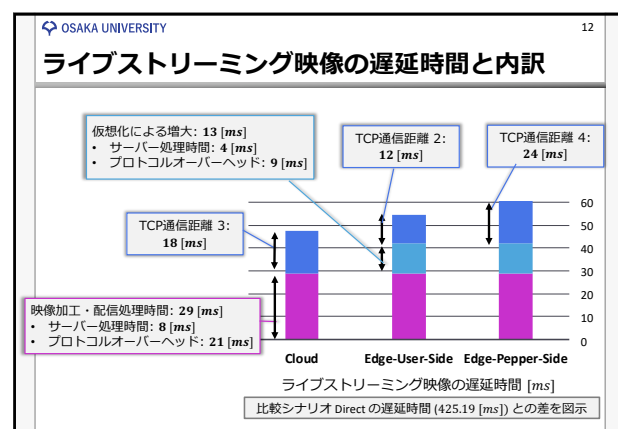
OSAKA UNIVERSITY 11

遅延測定方法

- ライブストリーミング映像の遅延時間**
 - Pepper の前でミリ秒単位の時計を表示
 - 時刻同期の観点からユーザ PC 上に表示
 - 時計と配信映像を並べて、1 秒おきに 100 回撮影
 - 実時刻と遅延した時刻の差を算出
 - 平均値を算出
- サーバ処理時間**
 - 計算機の出入口となる地点でパケットをキャプチャ
 - ストリーミングの開始・停止操作を 10 回実行
 - 各ストリーミングにおける最初と最後のパケットについて、キャプチャ地点の通過時刻の差を算出
 - データはサーバで処理されるため、パケットの連ぶデータの同一性は通過順以外で特定不可能
 - 平均値を算出

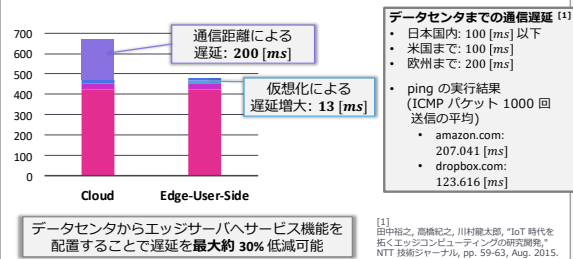
サーバ

パケットキャプチャ



クラウド環境における通信遅延

- データセンタまでの通信遅延は 100 [ms] 単位で発生
 - 通信距離による最大遅延: 200 [ms] と仮定
 - 仮想化による遅延増大: 13 [ms]



まとめと今後の課題

- エッジサーバを利用したサービス提供の有効性を定量的に確認
 - 仮想化による遅延増大: 13 [ms]
 - データセンタまでの通信距離削減による遅延低減: 最大 30%
- ただし各シナリオにおけるアプリケーション遅延に占める割合は低い
 - 遅延の大部分 (400 [ms] 程度) は Pepper のエンド端末処理時間
 - 現行 Pepper の搭載 CPU の FLOPS は Intel Core i7 の約 10 分の 1
 - 同性能の CPU が搭載されると、エンド端末処理時間は約 40 [ms] まで低減
- 端末性能の改善を前提とすれば、エッジサーバを利用したサービス提供は効果がある
- 今後の課題
 - 仮想マシンのライブマイグレーションによるサービス機能の動的な再配置がユーザの通信品質に与える影響・効果の調査

